



Available in:  
Journal.isrc.ac.ir

## Journal of Space Science, Technology & Applications (Persian)

Vol. 3, No. 2, pp.: 154-167  
2024

DOI:  
10.22034/jsssta.2024.424941.1144

### Article Info

Received: 2023-11-12  
Accepted: 2024-02-19

### Keywords

**Ion mobility spectrometry,  
Experimental investigation,  
Temperature gradient, Warm-up time, Desorber, Thermal insulation**

### How to Cite this article

Hamed Sheikbahaei, et al., "Experimental investigation and optimization of thermal performance of ion mobility spectrometry cell", *Journal of Space Science, Technology and Applications*, vol 3(2), p.:154-167 , 2024.

## Experimental investigation and optimization of thermal performance of ion mobility spectrometry cell

**Hamed Sheikbahaei<sup>1\*</sup>, Farkhondeh Saliminezhad<sup>2</sup>, Seyed Alireza Ghorashi<sup>3</sup>,  
Saeed Hajialigol<sup>4</sup>**

<sup>1</sup>\*M.Sc., Institute of Materials and Energy, Iranian Space Research Center, Isfahan, Iran  
h.sheikbahaei@isrc.ac.ir

<sup>2</sup> M.Sc., Institute of Materials and Energy, Iranian Space Research Center, Isfahan, Iran  
f.saliminezhad@isrc.ac.ir

<sup>3</sup> Instructor, Institute of Materials and Energy, Iranian Space Research Center, Isfahan, Iran  
sa.ghorashi@isrc.ac.ir

<sup>4</sup> Ph.D., Institute of Materials and Energy, Iranian Space Research Center, Isfahan, Iran  
s.hajialigol@isrc.ac.ir

### Abstract

Ion mobility spectroscopy (IMS), as one of the detection methods based on the ionization of mineral, organic, and chemical substances, has been used efficiently for many years in manned and robotic space missions. The space applications of these instruments include environmental monitoring of spacecraft and the identification of organic and mineral substances in samples collected from space. In this method, warm-up is required for the cleanup and transport of ions in the drift area of the detector cell. Considering the need to miniaturize and optimize the necessary power of space detectors, the experimental investigation of the thermal gradient and factors affecting warm-up time is essential. For conducting the experimental thermal analysis of the IMS cell, micropumps, desorber, and temperature recording equipment such as a temperature control system, data logger, thermocouple sensors, monitoring system, and resistance temperature detector have been used. In this research, by experimentally investigating the warm-up time and thermal gradient in the IMS cell in different modes and at several target temperatures, the main factors have been determined. The results showed that the oscillating air flow inside the IMS cell can reduce the warm-up time and the temperature gradient. Finally, several suggestions for better thermal efficiency are presented.



## مقاله پژوهشی

# بررسی تجربی و بهینه‌سازی عملکرد حرارتی سلول طیف‌سنجد تحرک یونی

دسترسی پذیر در نشانی:  
[Journal.isrc.ac.ir](http://Journal.isrc.ac.ir)

حامد شیخ بهائی<sup>\*</sup>، فرخنده سلیمی نژاد<sup>۱</sup>، سید علیرضا قرشی<sup>۲</sup>، سعید حاجی علی گل<sup>۳</sup>

۱- کارشناسی ارشد، پژوهشکده مواد و انرژی، پژوهشگاه فضایی ایران، اصفهان، ایران، h.sheikhbahaei@isrc.ac.ir

۲- کارشناسی ارشد، پژوهشکده مواد و انرژی، پژوهشگاه فضایی ایران، اصفهان، ایران، f.saliminezhad@isrc.ac.ir

۳- مرتبی، پژوهشکده مواد و انرژی، پژوهشگاه فضایی ایران، اصفهان، ایران، sa.ghorashi@isrc.ac.ir

۴- دکتری، پژوهشکده مواد و انرژی، پژوهشگاه فضایی ایران، اصفهان، ایران، s.hajjialigol@isrc.ac.ir

\*نویسنده مسئول

## دو فصلنامه علوم، فناوری و کاربردهای فضایی

سال سوم، شماره ۲، صفحه ۱۶۷-۱۵۴  
پاییز و زمستان ۱۴۰۲

DOI:  
[10.22034/jsssta.2024.424941.1144](https://doi.org/10.22034/jsssta.2024.424941.1144)

## تاریخچه داوری

دریافت: ۱۴۰۲/۰۸/۲۱

پذیرش: ۱۴۰۲/۱۱/۳۰

## واژه‌های کلیدی

تجربی، گرadiان دمایی، زمان  
گرمایش، واجذب‌کننده، عایق  
حرارتی

## نحوه استناد به این مقاله

حامد شیخ بهائی و همکاران، "بررسی تجربی و بهینه‌سازی عملکرد حرارتی سلول طیف‌سنجد تحرک یونی"، دوفصلنامه علوم، فناوری و کاربردهای فضایی، جلد سوم، شماره دوم، صفحات ۱۵۴-۱۶۷.

## چکیده

طیف‌سنجد تحرک یونی به عنوان یکی از روش‌های آشکارسازی بر اساس یونیزاسیون مواد معدنی، آلی و شیمیایی در ماموریت‌های سرنشین‌دار و رباتیک فضایی، سال‌ها به طور کارآمدی مورد استفاده قرار گرفته است. کاربردهای فضایی این ابزارها، شامل پایش محیطی فضای‌پیمایها و همچنین شناسایی مواد آلی و معدنی در نمونه‌های گردآوری شده از کیهان می‌باشد. در این بین، جهت پاکسازی و انتقال یون‌ها در ناحیه رانش سلول آشکارساز، نیاز به گرمایش وجود دارد. با توجه به نیاز به کوچکسازی و بهینه‌سازی توان مورد نیاز آشکارسازهای فضایی، بررسی تجربی گرadiان حرارتی و عوامل موثر بر آن بسیار اهمیت دارد. جهت انجام بررسی تجربی حرارتی سلول، برنامه و تجهیزات ثبت دما همچون سامانه کنترل دما، ثبت‌کننده اطلاعات، حسگرهای ترموموپل، نمایشگر، حسگر دمای مقاومتی و همچنین اجزای اصلی سیستم آشکارساز شامل واجذب‌کننده و میکروپمپ‌ها استفاده شده است. در این پژوهش، با بررسی تجربی زمان گرمایش و گرadiان حرارتی موجود در سلول طیف‌سنجد تحرک یونی در حالت‌های مختلف و چندین دمای هدف، عوامل موثر بر آن شناسایی شد. نتایج نشان داد، ایجاد جریان نوسانی هوا درون سلول می‌تواند موجب کاهش گرadiان دمایی و زمان رسیدن به پایداری حرارتی شود. در نهایت، راهکارهایی برای بهینه‌سازی حرارتی ارائه شده است.



## مقدمه

می‌رسند. با اندازه‌گیری و تقویت جریان الکتریکی بسیار ضعیف (در حد پیکوآمپر) ناشی از برخورد یون‌ها با آشکارساز ذرات و مقایسه با مرجع، نوع ماده مورد آزمایش مشخص می‌شود [۹ و ۱۰].

اندازه‌گیری پارامترهای دستگاهی، منبع مهمی از عدم قطعیت‌ها در طول آزمایش‌های تحرک یونی است. گرمابا ثعد عدم قطعیت‌های مهم در لندازه‌گیری‌های تحرک یونی می‌شود [۱۱]. دما دو اثر عمده بر روی یون در سطح رطوبت ثابت دارد. در دماهای بالا، بسته به آنالیت‌های<sup>۴</sup> مختلف، جدایش مولکول‌های آب از خوشی یون محصول و تکه‌تکه شدن یون‌های محصول ممکن است رخ دهد تا یون‌های کوچک‌تر با تحرک بیشتر تشکیل شوند. بنابراین، یون محصول شناسایی شده در دمای اتفاق ممکن است همان یون شناسایی شده در دمای بالا حتی برای همان آنالیت نباشد. همچنین، دائمر متصل به پروتون و تریمر متصل به پروتون (یون‌های تشکیل شده تحت غلظت‌های بالایی از آنالیت) اکثر ترکیبات، در صورتی که دما به ترتیب بالای ۸۰ تا ۱۰۰ درجه سلسیوس و ۲۰ تا ۰ درجه سلسیوس باشد، به شکل یون مونومر تجزیه می‌شوند. بنابراین هویت آن‌ها هرگز حفظ نمی‌شود [۱۲ و ۱۳ و ۱۴]. علاوه بر این، اگر دمای لوله رانش طیفسنج تحرک یونی همگن نباشد، می‌تواند یون‌هایی با ساختارهای متفاوت ایجاد شود که باعث خطا در شناسایی ماده مورد نظر خواهد شد. بنابراین، اعمال دمای ثابت و یکنواخت در لوله رانش به شدت بر عملکرد دستگاه تحرک یونی اثر دارد [۱۱ و ۱۵]. در این راستا، لیل‌بیگی و تبریزچی تأثیر پارامتر دما را بر قدرت تفکیک طیفسنج تحرک یونی مورد مطالعه قرار دادند و به طور تجربی و نظری نشان دادند که قدرت تفکیک با جذر دمای گاز رانش نسبت معکوس دارد، به عبارت دیگر با افزایش دمای قدرت تفکیک کاهش می‌یابد [۱۶]. ناجارو و همکارانش دمای بهینه واجذب‌کننده<sup>۵</sup> چند ترکیب شیمیایی خاص برای رسیدن به بهترین تفکیک را بررسی نمودند [۱۷]. همچنین در پژوهشی دیگر، علی‌کرد و همکارانش دمای بهینه سلول طیفسنج تحرک تفاضلی<sup>۶</sup> را برای استفاده در صنایع غذایی برای غربال‌گری پوترسین<sup>۷</sup> و کاداورین<sup>۸</sup> بررسی و مطالعه نمودند [۱۸]. مرنبلوم و همکارانش دمای یون‌ها را در فرآیند طیفسنجی تحرک یونی

طیفسنجی تحرک یونی<sup>۱</sup> یک روش تحلیلی است که برای تشخیص احتمالی یک ماده بر اساس تحرک یون‌های محصول در یک میدان الکتریکی استفاده می‌شود [۱ و ۲]. طیفسنجی تحرک یونی به طور کارآمدی برای نظارت بر کیفیت هوای فضای‌پیماهای سرنشین دار از جمله ایستگاه فضایی بین‌المللی و شاتل فضایی که راهگشای ماموریت‌های پیش‌رو همچون بازگشت به ماه و سفر به مریخ می‌باشد، به کار گرفته شده است. علاوه بر این، سامانه‌های طیفسنجی پیشرفت‌هایی تحقیص نشته بخارات هیدرازین در شاتل فضایی و شناسایی مواد آلی فرار در هوای فضای‌پیماها استفاده شده‌اند. از سوی دیگر، تجزیه و تحلیل نمونه‌های آلی و معدنی جمع‌آوری شده از ماموریت‌های سرنشین دار و رباتیک و همچنین انجام تحقیقات در محل و از راه دور طی اکتشافات فضایی، به منظور درک چگونگی تکامل حیات و شکل‌گیری منظومه خورشیدی به‌وسیله آشکارسازهای طیفسنجی تحرک یونی از اهمیت ویژه‌ای برخوردار است [۳].

در این روش آشکارسازی، تجزیه و تحلیل زمانی آغاز می‌شود که نمونه به قسمت نمونه‌بردار طیفسنج تحرک یونی نزدیک می‌شود. در این زمان، نمونه تبخیر می‌شود و سپس توسط یک گاز حامل به محفظه واکنش، جایی که مولکول‌های گازی یونیزه می‌شوند، منتقل می‌شود [۴ و ۵]. سپس یون‌های ایجاد شده از طریق یک دریچه یونی به ناحیه رانش یا جداسازی وارد می‌شوند. به ناحیه رانش<sup>۲</sup> و دریچه یونی اصطلاحاً سلول طیفسنج تحرک یونی گفته می‌شود [۶]. در ناحیه رانش، گروه یونی تحت تأثیر میدان الکتریکی به سمت آشکارساز حرکت می‌کند. همانطور که یون‌ها تحت تأثیر این میدان الکتریکی به سمت آشکارساز حرکت می‌کنند، در اثر برخورد با مولکول‌های گاز رانش که در جهت مخالف حرکت می‌کنند، سرعت آن‌ها کاهش می‌یابد [۷ و ۸]. مهم‌ترین بخش یک طیفسنج تحرک یونی لوله رانش آن است که بین دریچه یونی و صفحه آشکارساز قرار گرفته است. این ناحیه معمولاً از یک سری حلقه‌های<sup>۳</sup> رسانا و عایق متناوب (ضخامت آن‌ها در طرح‌های مختلف متفاوت است) تشکیل شده است که روی هم چیده شده‌اند تا یک لوله با طول دلخواه را تشکیل دهند. گونه‌های یونی که جرم کمتر، سطح برخورد کوچک‌تر و بار بیشتری دارند، سریع‌تر به آشکارساز

<sup>5</sup> Desorber

<sup>6</sup> Differential Mobility Spectrometry (DMS)

<sup>7</sup> Putrescine

<sup>8</sup> Cadaverine

<sup>1</sup> Ion Mobility Spectrometry (IMS)

<sup>2</sup> Drift Tube

<sup>3</sup> Rings

<sup>4</sup> Analyte

الکتریکی، مدارات الکترونیک، بدن، نمایشگر و ... وجود دارد. در این بین، واجذب‌کننده، که به حلقه ورودی سلول متصل می‌شود، امر تبدیل ذرات جمع‌آوری شده به بخار به وسیله گرمکن درونی را انجام داده و میکروپمپ‌ها وظیفه انتقال بخار ذرات در طول محفظه رانش طیف‌سنجه تحرک یونی و همچنین پاک‌کردن محفظه برای فرآیند آشکارسازی بعدی را بر عهده دارند. در شکل ۱ نمایی از سلول طیف‌سنجه تحرک یونی و واجذب‌کننده به همراه حسگرهای مورد استفاده در آزمون حرارتی نمایش داده شده است.

به منظور انجام بررسی تجربی حرارتی سلول طیف‌سنجه تحرک یونی، نیازمند تجهیزات ثبت دما مبتنی بر زمان، همچون واحد کنترل دما<sup>۱۵</sup>، ثبت‌کننده اطلاعات<sup>۱۶</sup>، حسگرهای ترموکوپل<sup>۱۷</sup>، نمایشگر و حسگرهای دقیق آشکارساز دمای مقاومتی<sup>۱۸</sup> است. تنظیم دقیق حسگرهای ترموکوپل با استفاده از آب با دمای کنترل شده در کنار حسگرهای دقیق آشکارساز دمای مقاومتی انجام می‌شود. همچنین شرایط اتاق از نظر دما و رطوبت در حالت پایدار استاندارد در نظر گرفته شده است. برای بررسی گردیان دما در طول سلول، حلقه‌های تفلونی با دقت در راستای ضخامت با قطر ۱ میلیمتر سوراخ کاری شده و حسگر دما با عبور از سوراخ در میانه قطر محفظه رانش قرار می‌گیرد. در شکل ۲ اجزای درونی سلول طیف‌سنجه تحرک یونی و موقعیت حسگرهای دما نشان داده شده است.

موج انتقالی<sup>۹</sup> بررسی و دمای بهینه را برای رسیدن به بهترین تفکیک برای گاز هلیوم به دست آوردند [۱۹]. علاوه بر اعمال دمای ثابت و یکنواخت در طراحی و ساخت لوله‌های رانش، موضوع دیگری که برای سازندگان دستگاه برای کاربردهای فضایلیه اهمیت دارد، کاهش زمان گرمایش و آماده‌شدن دستگاه برای آنالیز می‌باشد. این امر باعث می‌شود تا مصرف انرژی دستگاه کاهش یابد. با توجه به اینکه تاکنون بررسی حرارتی در رابطه با دمای هوای درون سلول طیف‌سنجه تحرک یونی به صورت سیستماتیک و جامع صورت نگرفته و اندازه گیری حرارتی بیشتر از طریق اجزاء و بدن سلول انجام پذیرفته است، از این رو، هدف این پژوهش، بررسی تجربی گردیان دمایی<sup>۱۰</sup>، اتفاق حرارتی<sup>۱۱</sup>، زمان گرمایش<sup>۱۲</sup> و عوامل موثر بر آن از طریق بررسی هوای درون سلول، برای بهینه‌سازی طیف‌سنجه تحرک یونی در نظر گرفته شده است.

## ۲- روش‌ها

سلول طیف‌سنجه تحرک یونی شامل تعدادی حلقه تفلونی (عایق) و فلزی (رسانا) مشابه به صورت یکی در میان، منبع یونیزاسیون و حلقه نگهدارنده، پنجره‌های یونی<sup>۱۳</sup>، جریان‌روب<sup>۱۴</sup> (آشکارساز الکتریکی یون)، حلقه‌های ورودی و انتها و اتصالات شامل پیچ، مهره و ... می‌باشد. بر روی حلقه‌های فلزی مقاومت الکتریکی برای ایجاد میدان الکتریکی قرار گرفته و سلول به وسیله گرمکن سیمی سیلیکونی<sup>۱۵</sup> (پیچیده شده بر روی سلول) گرم شده و توسط پوشش تفلون از نظر حرارتی عایق شده است. علاوه بر سلول طیف‌سنجه تحرک یونی، در یک دستگاه آشکارساز، اجزایی دیگر نظیر واجذب‌کننده، میکروپمپ‌ها، منبع تغذیه

<sup>15</sup> Silicone Heating Wire

<sup>16</sup> Temperature Control Module

<sup>17</sup> Data Logger

<sup>18</sup> Thermocouple Sensors

<sup>19</sup> Resistance Temperature Detector (RTD)

<sup>9</sup> Traveling Wave Ion Mobility Spectrometry (TWIMS)

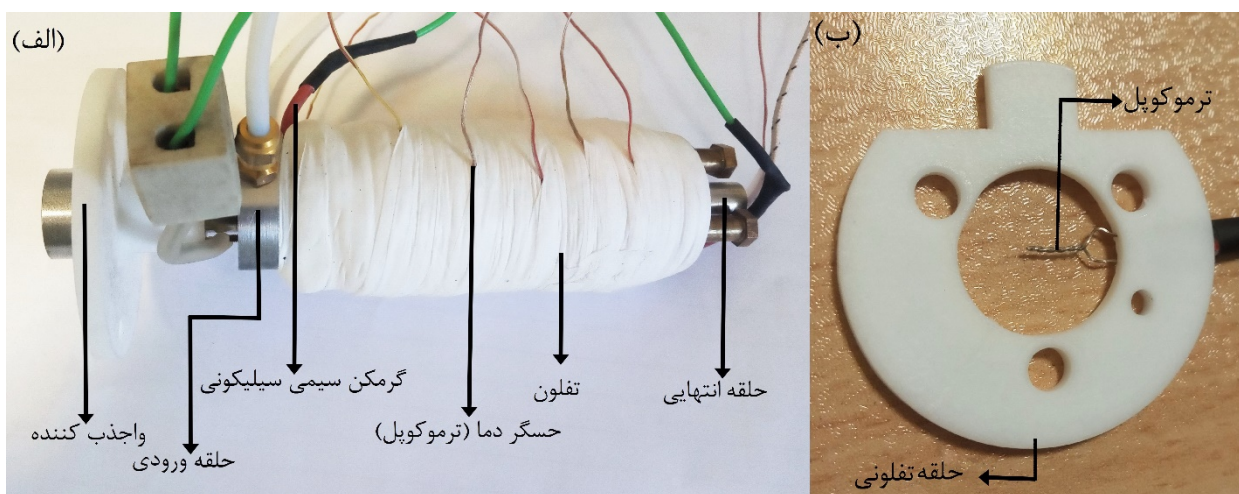
<sup>10</sup> Temperature Gradient

<sup>11</sup> Heat Loss

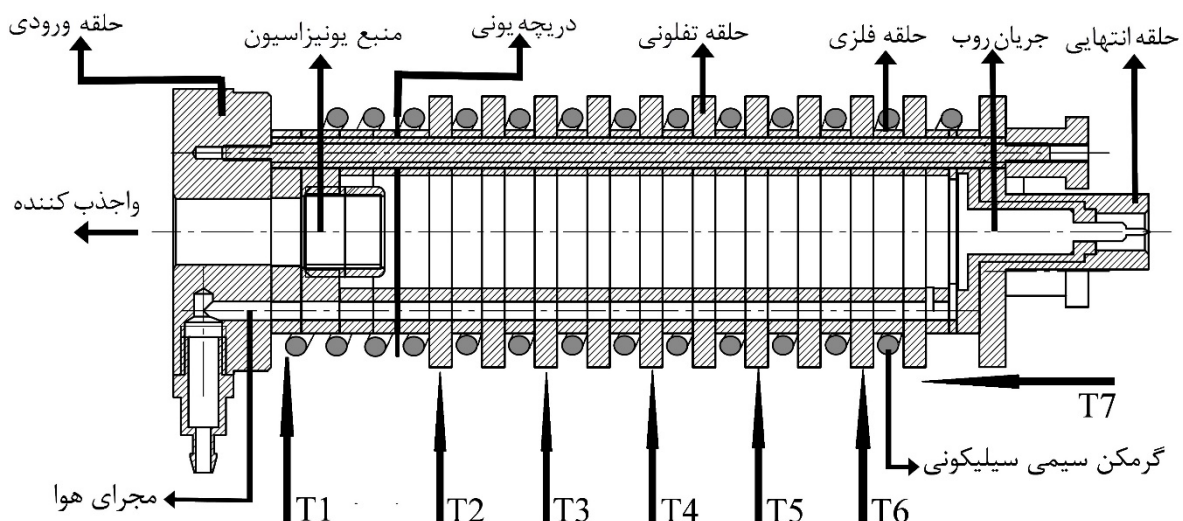
<sup>12</sup> Warm-up Time

<sup>13</sup> Shutter Grid

<sup>14</sup> Collector



شکل (۱): (الف) سلول طیفسنج تحرک یونی، ب) حسگر حرارتی تعییه شده در حلقة تفلونی



شکل (۲): موقعیت قرارگیری حسگرهای حرارتی درون و خارج از سلول طیفسنج تحرک یونی

جدول (۲): مشخصات آزمون‌های حرارتی

پروفیل دمایی	پمپ مکنده	پمپ دمنده	کننده‌واجدب	کن گرم سلول	دماهی هدف (سلسیوس)	شماره آزمون
-	-	-	-	✓	۱۲۰	۱
-	-	-	✓	✓	۱۲۰	۲
-	-	✓	✓	✓	۱۲۰	۳
-	-	✓	✓	✓	۱۳۰	۴
-	-	✓	✓	✓	۱۴۰	۵
-	✓	✓	✓	✓	۱۲۰	۶
✓	-	✓	✓	✓	-۱۳۰-۱۴۰ ۱۲۰	۷

طی آزمون حرارتی، حسگرهای ترموکوپل اختلاف پتانسیل الکتریکی وابسته به دما را از سلول به ثبت کننده اطلاعات منتقل می‌کنند. سامانه پایش دمای سلول، داده‌های دما را از ثبت کننده اطلاعات دریافت کرده و با استفاده از برنامه متلب آن را به نمودار تبدیل می‌کند. با روشن شدن گرمکن سیمی سیلیکونی، دمای سلول و هوای درون آن به تدریج افزایش یافته، تا به دمای تنظیمی واحد کنترل دما رسیده و ثابت شود. در این حال، دمای نشان داده شده به وسیله حسگر شماره ۷ (که در کنار حسگر واحد کنترل دما نصب شده) دمای سطح بیرونی سلول و همچنین دقت اندازه‌گیری دما توسط حسگرهای ترموکوپل را نشان می‌دهد. در شکل ۳، نمایی از پیکربندی این آزمون و تجهیزات مورد استفاده شامل ثبت کننده اطلاعات، سلول، حسگرهای دما و سامانه پایش دما نشان داده شده است.

در جدول ۱ حسگرهای دمای مورد استفاده و نوع و موقعیت محل نصب آن‌ها مشخص شده است.

جدول (۱): حسگرهای دما در بررسی تجربی حرارتی

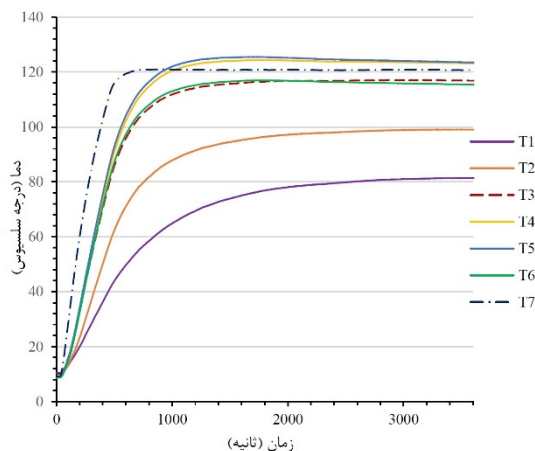
موقعیت	نوع	حسگر دما
حلقه ورودی سلول، بعد از واجدب کننده	K	حسگر شماره ۱
حلقه تلفونی میانی ۱	K	حسگر شماره ۲
حلقه تلفونی میانی ۳	K	حسگر شماره ۳
حلقه تلفونی میانی ۵	K	حسگر شماره ۴
حلقه تلفونی میانی ۷	K	حسگر شماره ۵
حلقه تلفونی میانی ۹	K	حسگر شماره ۶
سطح بیرونی سلول، در کنار حسگر واحد کنترل دما	K	حسگر شماره ۷
سطح بیرونی سلول، در کنار حسگر شماره ۷	K	حسگر واحد کنترل دما
بیرون از سلول، دمای اتاق	RTD	حسگر تنظیم دما شماره ۱
بیرون از سلول، دمای اتاق	RTD	حسگر تنظیم دما شماره ۲

پس از تنظیم دقیق درجه‌بندی<sup>۲۰</sup> حسگرهای نصب شده در داخل سلول برای انجام آزمون‌های زمان و گرادیان حرارتی، بایستی ابتدا دمای سلول به دمای محیط (۲۰ درجه سلسیوس) رسیده، سپس آزمون حرارتی شروع شود. مشخصات آزمون‌های حرارتی در جدول ۲ به اختصار بیان شده است.



شکل (۳) : تجهیزات مورد استفاده در بررسی تجربی عملکرد حرارتی

### ۳- نتایج و بحث



شکل (۴): تغییرات دما بر حسب زمان در سلول (آزمون شماره ۱)

همان طور که در شکل ۴ نشان داده شده است، بعد از گذشت ۷ دقیقه دمای گرم کن (حسگر شماره ۷) در سطح بیرونی سلول به ۱۲۰ درجه سلسیوس می‌رسد و بعد از آن به وسیله واحد کنترل دما، ثابت می‌شود. در عین حال، درون سلول، گرادیان دمای نسبتاً بالایی وجود داشته و دمای ورودی از ۸۰ تا ۱۰۰ درجه سلسیوس بیشتر تجاوز نمی‌کند و در قسمت میانی سلول بیشترین دما وجود داشته که تا ۱۲۳ درجه سلسیوس افزایش می‌یابد و دوباره در انتهای دیگر دما افت می‌نماید. گرادیان دمایی در دو انتهای سلول به دلیل در معرض بودن حلقوهای فلزی ورودی و انتهایی سلول با محیط پیرامون می‌پاشد، که اتفاق حرارتی بالایی داشته و باعث کاهش دما در این نقاط نسبت به میانه سلول می‌شود. در این بین کاهش دما در حلقه ورودی به دلیل ارتباط با هوای خارج نسبت به انتهای دیگر بیشتر است.

در شکل ۵ تغییرات دمایی هوای درون سلول با روشن بودن گرم کن واجذب‌کننده و خاموش بودن میکروپمپ‌ها در طی آزمون شماره ۲ (دمای تنظیمی واحد کنترل دما ۱۲۰ درجه سلسیوس) نشان داده شده است. دمای واجذب‌کننده که به شکل مقاومت سیمی فنری و غیرتماسی می‌پاشد در حدود ۲۰۰ درجه سلسیوس است. همان که در شکل ۵ مشاهده می‌شود، در این حالت با انتقال دما از طریق رسانش و بدنه دستگاه دمای ورودی سلول نسبت به حالت قبل تا ۲۰ درجه سلسیوس افزایش پیدا کرده است. با روشن شدن واجذب‌کننده، حلقه ورودی که به واجذب‌کننده متصل می‌باشد، همزمان گرم شده و اختلاف دمایی در دو انتهای سلول کاهش می‌یابد.

برای گرمایش هوای درون سلول، با استفاده از گرم کن سیمی سلیلیکونی، حرارت از طریق بدنه و رسانش به محفظه رانش منتقل شده و موجب می‌گردد تا دمای هوای محفظه رانش افزایش یابد. حسگر شماره ۷ به کمک واحد کنترل دما، دمای بدنه را در یک دمای ثابت قرار می‌دهد که دمای هدف نامیده شده و با دمای هوای داخل سلول ممکن است اختلاف داشته باشد. در رابطه با دمای هوای محفظه رانش بایستی در نظر داشت در دماهای بسیار پایین تحرك یون‌ها کمتر از میزان نیاز برای تفکیک و شناسایی بوده و زمانی که دما بسیار بالا رود احتمال یونیزاسیون بیشتر ماده وجود دارد که می‌تواند با مولکول‌های هوا واکنش داده و در نتیجه بر ضربی تحرك یونی اثر گذارد. در دماهای بالا به دلیل غیرخطی شدن ضربی تحرك یونی امکان شناسایی وجود ندارد. همچنین یون‌هایی که در دماهای بالا تشکیل می‌شوند می‌توانند با هم برخورد کرده و یکسری مولکول‌های جدیدی ایجاد کنند که از لحاظ وزن مولکولی کاملاً با ماده اولیه متفاوت بوده و بر روی تحرك یونی اثر گذار باشد. از این رو، بهترین دما، دمایی است که مولکول فقط به صورت حداقل یون‌ها با تحرك کافی تشکیل شود تا نشانگر<sup>۲۱</sup> مولکول کاملاً واضح<sup>۲۲</sup> و بتواند به عنوان نشانگر اصلی قابل استناد باشد. بر حسب تجربه و با توجه به ساختار سلول موجود، بهترین تفکیک برای طیف‌سنجی در دمای ۱۲۰ درجه سلسیوس حاصل می‌شود[۸].

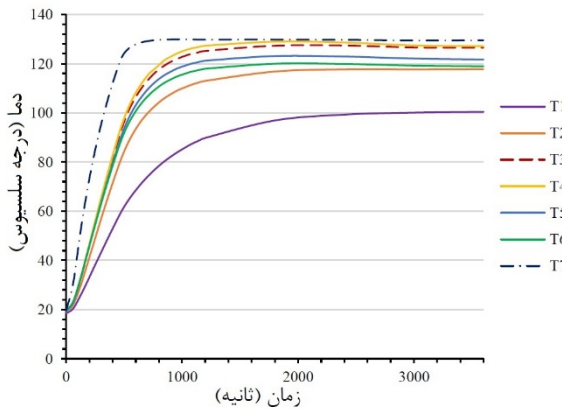
ثبت دما برای به دست آوردن گرادیان حرارتی در طول سلول آشکارساز و همچنین مشخص نمودن زمان لازم به منظور رسیدن به پایداری حرارتی برای هر یک از نقاط سلول با استفاده از چندین آزمایش تجربی که به تشرییح در ذیل می‌آید، انجام شده است. در ابتدا، طی آزمون شماره ۱، بررسی نحوه ایجاد گرادیان دما درون سلول بدون روشن بودن واجذب‌کننده و تنها با روشن نمودن گرم کن سلول (دمای تنظیمی واحد کنترل دما ۱۲۰ درجه سلسیوس) بررسی شده است. شکل ۴ تغییرات دمایی به دست آمده از حسگرهای دما در طی یک ساعت را نشان می‌دهد.

<sup>22</sup> Sharp

<sup>21</sup> Peak

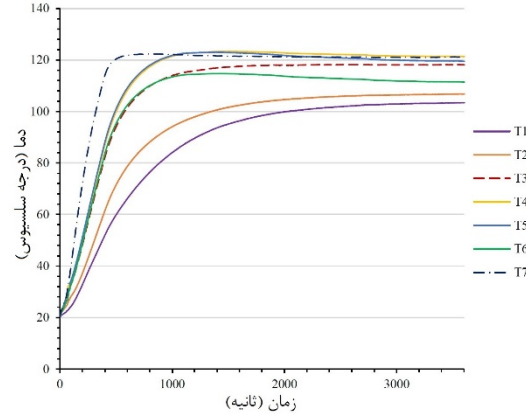
ورودی سلول کاهش می‌یابد. با این حال، این جریان هوا موجب می‌شود تا گرadiان دمایی درون ناحیه رانش از حسگر شماره ۲ تا ۶ تا حدی کاهش یابد. دلیل کاهش دما در حسگر شماره ۱ در حلقه ورودی، مربوط به کاهش حرارت ورودی از واجذب‌کننده به ناحیه حسگر شماره ۱ می‌باشد که در آزمون شماره ۲ موجب افزایش دمای این ناحیه در غیاب جریان هوای ناشی از میکروپمپ ممند شده بود.

به منظور بررسی تاثیر افزایش سطح دمای هدف بر روی پارامترهای حرارتی سلول طیف‌سنجه، آزمون‌های ۴ و ۵ با دمای هدف ۱۳۰ و ۱۴۰ درجه سلسیوس طراحی و انجام شد. گرadiان دما در شرایطی که میکروپمپ ممند و اجزای حرارتی شامل گرم‌کن سلول و واجذب‌کننده روشن می‌باشد (برای پاکسازی محفظه رانش با دمای هدف ۱۳۰ درجه سلسیوس) در شکل ۷ (آزمون شماره ۴) نشان داده شده است. همان‌طور که در این شکل مشاهده می‌شود، افزایش سطح دمای هدف تاثیر چندانی در گرadiان حرارتی در طول سلول ندارد، اما باعث می‌شود دمای هوای سلول (به جز در ناحیه حلقه ورودی) در محدوده دمایی با میانگین ۱۲۰ درجه سلسیوس قرار گیرد.



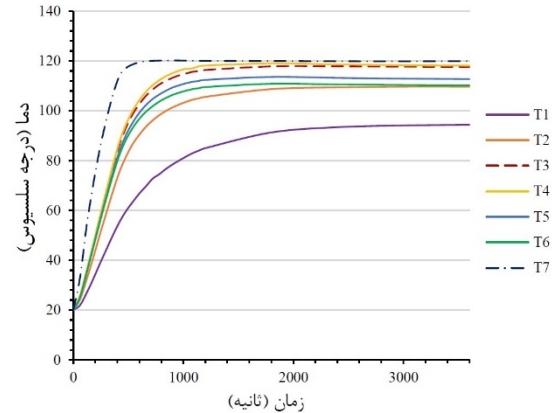
شکل (۷): تغییرات دما بر حسب زمان در سلول (آزمون شماره ۴)

علاوه بر این، گرadiان دما در شرایطی که میکروپمپ ممند و اجزای حرارتی شامل گرم‌کن سلول و واجذب‌کننده روشن است (برای پاکسازی محفظه رانش) و دمای هدف برابر با ۱۴۰ درجه سلسیوس می‌باشد، در شکل ۸ (آزمون شماره ۵) نشان داده شده است. همان‌طور که در این شکل مشاهده می‌شود، افزایش سطح دمای هدف تاثیری بر روی گرadiان دمایی نداشته و تنها میانگین دمای هوای سلول (به جز در ناحیه حلقه ورودی) در محدوده دمایی با میانگین ۱۳۰ درجه سلسیوس قرار می‌دهد.



شکل (۵): تغییرات دما بر حسب زمان در سلول (آزمون شماره ۲)

در ادامه، طی آزمون شماره ۳ تا ۶ میکروپمپ‌ها که وظیفه پاکسازی محفظه رانش (میکروپمپ ممند) و همچنین انتقال نمونه‌ها به داخل محفظه رانش (میکروپمپ مکنده) را بر عهده دارند، به پیکربندی آزمون‌ها اضافه می‌شوند. این میکروپمپ‌ها شامل دو عدد مشابه ۱۲ ولت با دور قابل تنظیم و حداکثر دبی ۲ لیتر بر دقیقه) خارج از سلول طیف‌سنجه و داخل سامانه آشکارساز قرار داشته و با لوله تفلونی جهت انتقال هوا به مجرای ورودی و خروجی متصل می‌شوند. تغییرات دما در شرایطی که میکروپمپ ممند و اجزای حرارتی شامل گرم‌کن سلول و واجذب‌کننده روشن می‌باشد (جهت پاکسازی محفظه رانش) و دمای هدف برابر با ۱۲۰ درجه سلسیوس می‌باشد، در شکل ۶ (آزمون شماره ۳) نشان داده شده است.

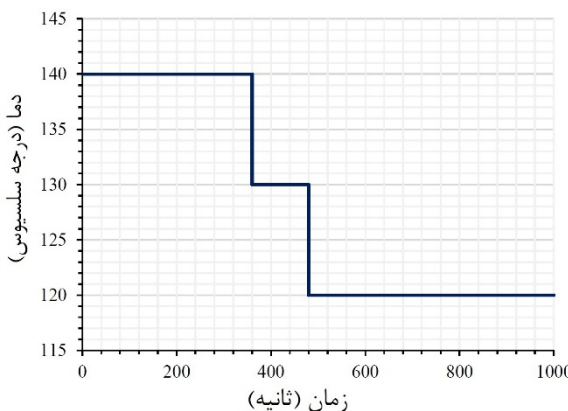


شکل (۶): تغییرات دما بر حسب زمان در سلول (آزمون شماره ۳)

مطابق شکل ۶ و در مقایسه با شکل ۵، با روش‌شدن میکروپمپ ممند و ایجاد جریان هوا درون سلول، دمای هوای در

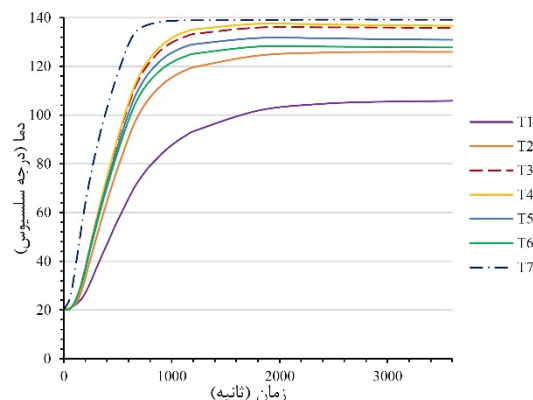
همان طور که در شکل ۹ قابل مشاهده است، ایجاد حالت دمتشی - مکشی به وسیله میکروپمپ‌ها و جریان نوسانی هوا درون سلول به تدریج باعث افزایش ماندگاری هوا درون سلول و به دنبال آن افزایش انتقال حرارت از بدن به هوای درون سلول می‌شود. این حالت، باعث افزایش تدریجی دمای سلول به ویژه در ورودی سلول و نزدیک به واجذب‌کننده مطابق شکل ۹ می‌شود. در نهایت این موضوع، منتج به کاهش گرادیان دمایی و زمان رسیدن به پایداری حرارتی تا حدود ۳۲ درصد می‌شود.

در آخر، تاثیر پروفیل حرارتی بر عملکرد حرارتی سلول بررسی شده است. گرادیان دمای ایجاد شده در شرایطی که دمای تنظیمی واحد کنترل دما مطابق پروفیل شکل ۱۰ (۱۰۰۰ ثانیه ابتدایی نشان داده است)، به شکل پله‌ای تغییر می‌کند، در طی آزمون شماره ۷ نشان داده شده است. این آزمون حرارتی در شرایطی که همه اجزای حرارتی روشن بوده (میکروپمپ دمنده) و دمای تنظیمی نخستین ۱۴۰ درجه سلسیوس، در دقیقه ۶ (۳۶۰ ثانیه) برابر با ۱۳۰ درجه سلسیوس و از دقیقه ۸ (۴۸۰ ثانیه) به بعد برابر با ۱۲۰ درجه سلسیوس بوده، انجام شده است.



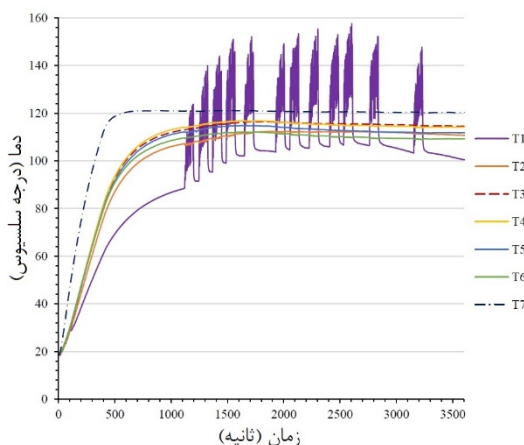
شکل (۱۰): پروفیل دمایی انتخابی (آزمون شماره ۷)

در شکل ۱۱ گرادیان دمای حاصل از پروفیل دمایی انتخابی در طول محفظه رانش سلول طیف‌سنج تحرک یونی نمایش داده شده است. همان‌طور که در این شکل مشاهده می‌شود یک جهش دمایی کوچک در هنگام پله‌های دمایی مشاهده می‌شود.

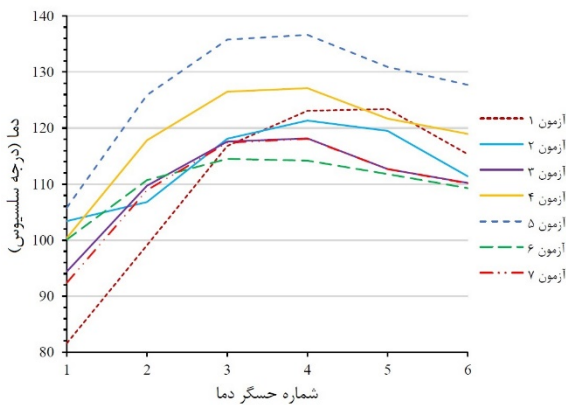


شکل (۸): تغییرات دما بر حسب زمان در سلول (آزمون شماره ۵)

همان‌طور که در شکل های ۶ تا ۸ نشان داده شده است، با افزایش دمای تنظیمی گرم کن سلول، تا حد کمی زمان رسیدن به دمای پایداری حرارتی افزایش می‌یابد. در مورد آزمون دمای تنظیمی واحد سلسیوس، با توجه به حداقل دمای قابل تحمل تفلون، امکان تغییر شکل و سوختن تفلون وجود داشته و ممکن است در صورت استفاده طولانی مدت، تفلون دچار اعوجاج شود. در شکل ۹ (آزمون شماره ۶)، نمودار گرادیان دما در حالتی که گرم کن سلول، واجذب‌کننده و میکروپمپ دمنده روشن است و به تناوب میکروپمپ مکنده روشن و خاموش می‌شود (دمای تنظیمی واحد کنترل دما ۱۲۰ درجه سلسیوس)، نمایش داده شده است. در این حالت هوا گرم از واجذب‌کننده توسط میکروپمپ مکنده به داخل لوله رانش فرستاده می‌شود و دوباره توسط میکروپمپ دمنده هوا به خارج از سلول ارسال می‌شود. همان‌طور که مشخص است، با ایجاد حالت نوسانی رفت و برگشتی، دمای ورودی سلول از ۱۰۰ تا ۱۶۰ درجه سلسیوس، به صورت نوسانی افزایش و کاهش می‌یابد.

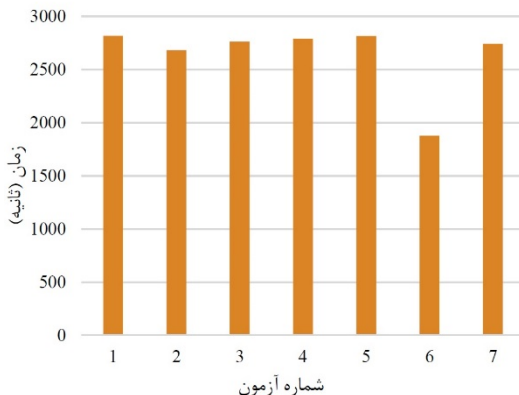


شکل (۹): تغییرات دما بر حسب زمان در سلول (آزمون شماره ۶)

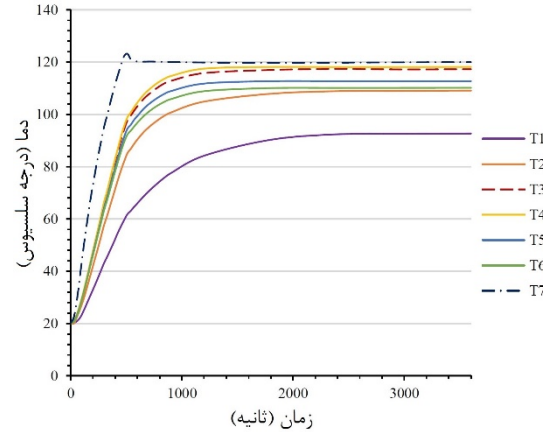


شکل (۱۲): گرadiان حرارتی در سلول طیف‌سنج تحرک یونی در آزمون‌های حرارتی

در مورد زمان گرمایش و رسیدن به پایداری حرارتی، آزمون‌های مختلف در شکل ۱۳ مقایسه شده‌اند. زمان رسیدن به پایداری حرارتی، بر اساس زمانی که حسگر شماره ۴ (با موقعیت مکانی میانه سلول آشکارساز) به یک دمای ثابت می‌رسد، بررسی شده است. مطابق شکل زیر، تفاوت چندانی در آزمون‌های شماره ۱ تا ۵ وجود ندارد، هر چند در آزمون شماره ۲ به نسبت آزمون شماره ۱ کاهش ناچیز زمان گرمایش مشاهده می‌شود. همچنین، با افزایش دمای هدف واحد کنترل دمای، تا حدود کمی زمان رسیدن به پایداری حرارتی در آزمون‌های ۳ تا ۵ افزایش می‌یابد و در آزمون شماره ۷ با استفاده از پروفیل دمایی تغییر محسوسی نسبت به آزمون شماره ۳ مشاهده نمی‌شود. اما بیشترین کاهش زمان گرمایش مربوط به آزمون شماره ۶ با ۳۲ درصد کاهش است که با تغییر در برنامه کنترلی دستگاه قابل دستیابی است. از این رو، روش مرتبط با آزمون شماره ۶ (ایجاد هوای نوسانی درون ناحیه رانش) گزینه مناسبی برای بهبود زمان گرمایش است.



شکل (۱۳): زمان گرمایش (رسیدن به پایداری حرارتی) برای آزمون‌های حرارتی



شکل (۱۱): تغییرات دما بر حسب زمان در سلول (آزمون شماره ۷)

همان طور که در شکل ۱۱ نشان داده شده است، با مقایسه آن با حالت دمای تنظیمی نخستین ۱۲۰ درجه سلسیوس، تغییر محسوسی در گرadiان دمایی نهایی و زمان رسیدن به پایداری حرارتی مشاهده نمی‌شود. در این مورد، نبود تغییر محسوس نسبت به حالت اولیه، مربوط به زمان نیاز جهت پایداری حرارتی می‌باشد و تغییرات پروفیل حرارتی نسبت به زمان چندان اثرگذار نیست.

در ادامه به بررسی و مقایسه نتایج حاصله از آزمون ۱ تا ۷ در ارتباط با گرadiان حرارتی پرداخته شده است. در شکل ۱۲ دمای ثبت‌شده حسگرهای دما در پایان هر آزمون نشان داده شده است. همان‌طور که در این تصویر مشاهده می‌شود، در آزمون شماره ۱ تا حدود زیادی اختلاف دمایی در نقاط مختلف سلول، حتی با گذشت حدود یک ساعت از شروع آزمون، وجود دارد که با روشن شدن واجذب‌کننده در طی آزمون شماره ۲ تا حدودی این گرadiان دمایی کاهش می‌یابد. در طی آزمون شماره ۳ با روشن شدن میکروپمپ دمنده، تفاوت چندانی در گرadiان دمایی نسبت به آزمون شماره ۲ مشاهده نمی‌شود و این روند در آزمون‌های ۴ و ۵ که به ترتیب دمای هدف ۱۳۰ و ۱۴۰ درجه سلسیوس می‌باشد، عیناً تکرار می‌شود. در آزمون شماره ۶، حالت نوسانی دمشی - مکشی، موجب کاهش قابل ملاحظه گرadiان دمایی در طول سلول گشته و در پایان، در آزمون شماره ۷، گرadiان دمایی مشابه آزمون شماره ۳ می‌باشد و تغییر چندانی مشاهده نمی‌شود. با توجه به شکل ۱۲ و اتفاق حرارتی از حلقه انتهایی سلول طیف‌سنج تحرک یونی، می‌توان دمای ناحیه انتهایی سلول را دمایی مابین حسگر شماره ۶ و حسگر شماره ۱ پیش‌بینی نمود.

۱،  $P$  توان،  $m$  جرم،  $c$  ظرفیت گرمایی ویژه،  $\Delta T$  تغییرات دمایی،  $\Delta t$  بازه زمانی و از این رو  $\Delta T/\Delta t$  نرخ تغییرات دمایی است [۲۰].

$$P=mc \Delta T/\Delta t \quad (1)$$

با توجه به اینکه تلفون دارای ضریب انتقال حرارت رسانش بسیار پایینی است، در نتیجه مانع انتقال و یکنواختی حرارت در ناحیه رانش می‌شود، که این باعث ایجاد گرادیان دما در طول سلول در طی آزمون‌های ۱ تا ۷ مطابق شکل ۱۲ می‌شود. از این رو پیشنهاد می‌شود، حلقه‌های تلفونی با ماده‌ای با قابلیت هدایت حرارتی بالا و هدایت الکتریکی بسیار پایین (دیالکتریک) همچون سرامیک‌های اکسید فلزی پیشرفته جایگزین، و عملکرد آن بر روی کاهش زمان گرم شدن به صورت تجربی و عددی مورد بررسی قرار گیرد. مشخصات سرامیک‌های پیشنهادی برای جایگزینی با تلفون در جدول ۳ آمده است [۲۱ و ۲۲].

مطابق این جدول، با توجه به شکنندگی و تردی آلومینیم‌اکسید<sup>۲۴</sup> و زیرکونیم‌دی‌اکسید<sup>۲۵</sup>، همچنین ضریب انتقال حرارت بسیار بالای آلومینیم‌نیترید<sup>۲۶</sup> و بریلیم‌اکسید<sup>۲۷</sup>، دو مورد آخری به عنوان جایگزین‌های مناسب از اولویت بالاتری برخوردار است. البته باستی توجه داشت هزینه تامین این دو سرامیک مهندسی پیشرفتنه نسبت به دیگر سرامیک‌ها بالاتر بوده و بریلیم‌اکسید در حالت پودر، دارای ذرات سمی است [۲۳].

مطابق راهکار پیشین و با ضرورت به حداقل رساندن گرادیان حرارتی (آزمون ۱ تا ۷)، رسوب و لایه‌نشانی گرم کن مسطح با استفاده از فناوری لایه‌نشانی مواد بر روی صفحه حلقة سیلیکونی یا سرامیکی به همراه دیگر مدارات الکترونیک برای گرمایش حداقلی از دیگر اقداماتی است که قابلیت بررسی دارد [۲۴].

با توجه به اتفاف حرارتی در حلقة ورودی و انتهایی در طی تمامی آزمون‌ها، به منظور بهبود عایق‌کاری حرارتی و به حداقل رساندن انتقال حرارت به دیگر ابزارهای الکترونیکی نزدیک سلول طیف‌سنجی در سامانه آشکارساز، استفاده از عایق‌های حرارتی پیشرفتنه همچون آیروژل سیلیکایپی نانومتلخلخل<sup>۲۸</sup> پیشنهاد می‌شود. پتوهای<sup>۲۹</sup> حرارتی منعطف آیروژل (عایق گرم) (همان‌طور که در شکل ۱۴ نشان داده شده است) در ضخامت‌هایی از ۳ تا ۲۰ میلیمتر با عرض ۵۰۰ تا ۱۰۰۰ میلیمتر و درازای تا ۱۰ متر

در ادامه به منظور بهبود و بهینه‌سازی هر چه بیشتر ویژگی‌های حرارتی سلول طیف‌سنج تحرک یونی راهکارهایی رائمه شده است، اگرچه این راهکارها نیازمند بررسی تجربی و عددی بیشتر در تحقیقات پیش‌رو است.

همان‌طور که نمودار شماره ۱۲ نشان می‌دهد، حلقه‌های انتهایی و ورودی سلول همانند پخش‌کننده حرارتی<sup>۳۰</sup> برای دفع گرمایش عمل می‌نمایند، پیشنهاد می‌شود تا بر روی دو حلقة ورودی و انتهایی، تا حد امکان عایق‌کاری حرارتی مناسب با استفاده از مواد عایق حرارتی پیشرفتنه انجام شود تا اتفاف حرارتی به حداقل ممکن برسد.

با توجه به نمودار گرادیان دمایی در طول سلول طیف‌سنج تحرک یونی (شکل شماره ۱۲)، پیشنهاد می‌شود تا بر روی حلقه‌های ورودی و انتهایی سلول، گرم کن سیمی سیلیکونی نسبت به قسمت‌های میانی، فشرده‌تر (با فاصله کمتر) پیچانده شود. این امر موجب می‌شود تا گرمایی ورودی بیشتری به این ناحیه وارد و اتفاف حرارتی تا حدودی جبران شود.

مجرای هوای ورودی (شکل شماره ۲) جز ساختار سلول بوده و توسط گرم کن سیمی سیلیکونی گرم می‌شود. کاهش قطر مجرای هوای ورودی به ناحیه رانش سلول می‌تواند موجب افزایش سطح مقطع تماس حرارتی و از آنجا باعث افزایش دمای محفظه رانش سلول شود.

با توجه به کاهش دما در طول سلول و به ویژه در حلقة ورودی به خاطر اتفاف حرارتی در این ناحیه (آزمون شماره ۱)، گرمایش و تزریق هوا به وسیله یک گرم کن در مسیر ورودی هوا به داخل سلول، یکی دیگر از راهکارهای خواهد بود که امکان کاهش گرادیان و زمان رسیدن به پایداری حرارتی را دارد.

در راستای کاهش زمان گرمایش در طی تمام آزمون‌ها، می‌توان با استفاده از رابطه ۱ و با فرض اینکه انتقال گرمایش گرم کن سلول تنها از طریق رسانش انجام شود، نسبت به کاهش جرم حلقه‌های تلفونی و فلزی در ناحیه رانش سلول اقدام نمود. مطابق فرمول زیر، در یک توان حرارتی ثابت با کاهش جرم، زمان لازم به منظور تغییرات حرارتی کاهش و سرعت تغییرات دمایی افزایش می‌یابد. برای رسیدن به این هدف، نیاز به ایجاد سوراخ‌های اضافی بر روی حلقه‌های تلفونی و فلزی تا جایی که استحکام مکانیکی آنها تحت تاثیر قرار نگیرد، می‌باشد. در رابطه

<sup>27</sup> Beryllium Oxide (BeO)

<sup>28</sup> Nanoporous Silica Aerogel

<sup>29</sup> Blankets

<sup>23</sup> Heat Sink

<sup>24</sup> Aluminium Oxide (Al<sub>2</sub>O<sub>3</sub>, Alumina)

<sup>25</sup> Zirconium Dioxide (ZrO<sub>2</sub>, Zirconia)

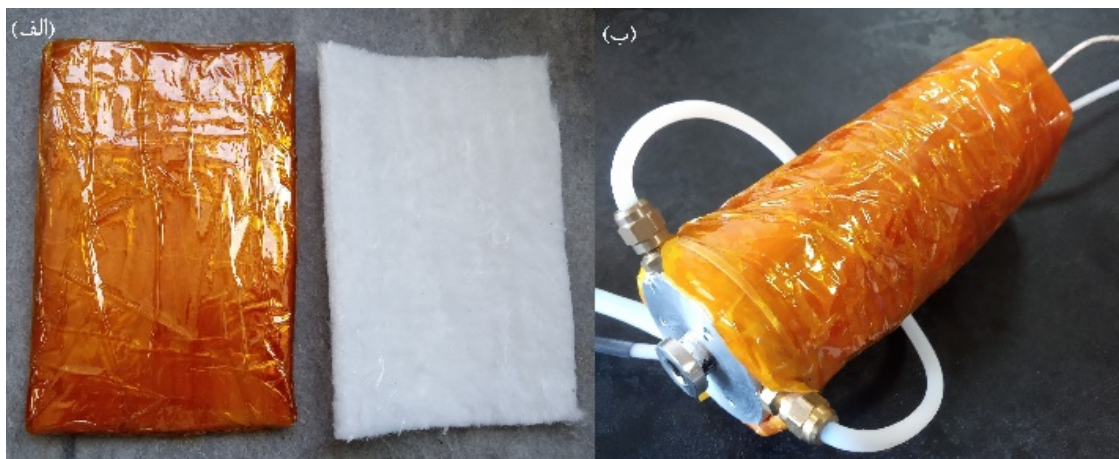
<sup>26</sup> Aluminium Nitride (AlN)

عمر بالا ۳۰ تا ۵۰ سال، قابلیت مونتاژ و دمونتاژ چندباره برای تعمیرات یا بازرسی و همچنین نداشتن ریزش یا ترک به مرور زمان هستند. همچنین، برای روکش کردن و بسته‌بندی از چسب کپتون که عایق الکتریسیته و دما است نیز می‌توان استفاده نمود [۲۵].

تولید می‌شوند. بلنکت‌های منعطف آبروژل نانو متخلخل، دارای ضریب رسانایی بسیار ناچیز در بازه دمایی  $-200\text{--}+65^\circ\text{C}$  سلسیوس از ۱۴۰۰ تا ۰۰۰۲ وات بر متر کلوین هستند. این عایق‌ها دارای ویژگی‌هایی نظیر عایق صوت، ضدآب، ضدحریق، ضدخوردگی زیرسطح عایق، عملکرد عالی در دمای کاری  $-200\text{--}+65^\circ\text{C}$  درجه سلسیوس، عملکرد فوق العاده با ضخامت کم، حجم و وزن ناچیز، زیست‌سازگار، قابل برش در هر شکلی، طول

جدول (۳): مقایسه ویژگی‌های حرارتی تفلون با دیگر سرامیک‌های اکسید فلزی

ثابت دی الکترونیک (GHz)	ظرفیت گرمایی ویژه (J/g-k)	انتقال حرارت (W/m-k)	چگالی (g/cc)	ماده- ویژگی
۲.۷	۱.۵	۰.۲۵	۲.۳	تفلون
۹.۸	۰.۸	۳۰-۳۵	۳.۹	آلومینیم اکسید، آلومینا (تراکم بالا)
۲۸	۰.۴	۱.۵-۳	۵۶	زیرکونیم دی اکسید، زیرکونیا (تراکم بالا)
۸.۵	۰.۶	۱۰۰-۳۰۰	۳.۲	آلومینیم نیترید
۶.۷	۱	۲۳۰-۳۳۰	۳	بریلیم اکسید



شکل (۱۴): (الف) پتوی حرارتی آبروژل سیلیکایی نانومتخلخل منعطف (عایق گرم) به همراه چسب کپتون، (ب) نحوه عایق‌کاری حرارتی بهینه سلول طیف‌سنجه تحرک یونی

سیلیکایی نانومتخلخل برای عایق‌کاری حرارتی اشاره نمود، که اطمینان از میزان تاثیر این موارد مستلزم بررسی‌های تجربی و عددی در پژوهش‌های آینده است.

### تعارض منافع

هیچ تعارض منافعی توسط نویسنندگان بیان نشده است.

### مراجع

- [1] J. Puton and J. Namieśnik, “Ion mobility spectrometry: Current status and application for chemical warfare agents detection,” *TrAC Trends in Analytical Chemistry*, vol. 85, pp. 10–20, Dec. 2016.
- [2] S. Armenta, F. A. Esteve-Turrillas, and M. Alcalà, “Analysis of hazardous chemicals by ‘stand alone’ drift tube ion mobility spectrometry: a review,” *Analytical Methods*, vol. 12, no. 9, pp. 1163–1181, Mar. 2020.
- [3] R. Arevalo Jr, Z. Ni, and R. M. Danell, “Mass spectrometry and planetary exploration: A brief review and future projection,” *J. Mass Spectrom.*, vol. 55, no. 1, 2020.
- [4] Saeed Hajialigol, Seyed Alireza Ghorashi, Amir Hossein Alinoori, Amir Torabpour, and Mehdi A`zimi, “Thermal Solid Sample Introduction–Fast Gas Chromatography–Low Flow Ion Mobility Spectrometry as a field screening detection system,” *Journal of Chromatography A*, vol. 1268, pp. 123–129, Dec. 2012.
- [5] S. A. Ghorashi, A. H. Alinoori, and S. Hajialigol, “Signal-to-noise enhancement in TSSI-GC-IMS: Development of two dimensional sensor for detection of chemicals,” *Microelectronics Journal*, vol. 45, no. 12, pp. 1634–1640, Dec. 2014.
- [6] Mahmoud Tabrizchi, Elaheh Maki Abadi, Razieh Parchami, and Elham Fadaei, “Dynamic Response of Ion Mobility Spectrometry,” *Journal of the American Society for Mass Spectrometry*, vol. 33, no. 7, pp. 1148–1160, Jun. 2022.
- [7] C. Chen, M. Tabrizchi, and H. Li, “Ion gating in ion mobility spectrometry: Principles and advances,” *TrAC Trends in Analytical Chemistry*, vol. 133, p. 116100, Dec. 2020.

### ۴- نتیجه‌گیری

در این مقاله، گردیان دما، زمان گرمایش و عوامل موثر بر آن در آزمون‌های مختلف بررسی شد. نتایج نشان داد درون ناحیه رانش سلول، گردیان دمایی نسبتاً بالای وجود داشته و همچنین زمان مورد نیاز برای گرم شدن محفظه رانش و آماده شدن دستگاه برای تشخیص مواد به طور نسبی بالا است.

با توجه به اندازه‌گیری‌های تجربی انجام پذیرفته در این مطالعه، دمای بدنه سلول با دمای هوای داخل اختلاف دارد و این در حالی است که در دیگر پژوهش‌های مرتبط با گردیان حرارتی سلول، دمای بدنه سلول با استفاده از حسگرهای دما یا دوربین حرارتی فروسرخ بررسی شده است. از این رو، برای افزایش دقت داده‌ها در این تحقیق، تنها دمای هوای درون سلول مدنظر بوده و مطالعه شده است.

در دیگر پژوهش‌ها، تنها به بررسی عملکرد حرارتی سلول به صورت تنها پرداخته شده است. در حالی که در این مقاله تاثیر دیگر اجزاء مرتبط همچون واجذب‌کننده و جریان دمایی-مکشی میکروپمپ‌ها بر ویژگی‌های حرارتی نیز بررسی شده است.

با روشن‌شدن گرم‌کن واجذب‌کننده، مقداری از گرمابه سلول منتقل شده و تا حدودی دمای هوای ورودی سلول افزایش و گردیان حرارتی کم می‌شود. همچنین، با روشن‌شدن میکروپمپ دمنده، دمای ورودی سلول کاهش یافته ولی گردیان دما در دیگر نقاط سلول تا حدودی ثابت می‌ماند.

نتایج آزمون‌های حرارتی نشان می‌دهد که استفاده از جریان هوای نوسانی درون سلول با استفاده از میکروپمپ‌های دمنده و مکننده، راه حل مناسبی برای رسیدن به گردیان دمایی یکنواخت در کمترین زمان ممکن است. در این راستا نتایج تجربی و عملی، یک بهینه‌سازی ۳۲ درصدی را نشان می‌دهد.

در پلیان، به منظور بهینه‌سازی حرارتی می‌توان به راهکارهایی همچون: تغییر پیکربندی گرمایش و عایق‌کاری حرارتی، تزریق هوای پیش گرم‌شده، کاهش قطر مجرای ورودی به ناحیه رانش، کاهش جرم حلقه‌های تفلونی و فلزی، استفاده از حلقه‌های سرامیکی پیشرفتۀ عایق الکتریسیته با هدایت حرارتی بالا، لایه‌نشانی حلقة فلزی و گرم‌کن به طور مستقیم بر روی صفحه حلقة سرامیکی و استفاده از عایق حرارتی آیروژل

- [19] S. I. Merenbloom, T. G. Flick, and E. R. Williams, "How Hot are Your Ions in TWAVE Ion Mobility Spectrometry?," *Journal of the American Society for Mass Spectrometry*, vol. 23, no. 3, pp. 553–562, Dec. 2011.
- [20] N. Wang, A. Chen, W. Zhao, R. Zhu, and B. Duan, "An online temperature estimation for cylindrical lithium-ion batteries based on simplified distribution electrical-thermal model," *Journal of Energy Storage*, vol. 55, p. 105326, Nov. 2022.
- [21] S. N. Leung, "Thermally conductive polymer composites and nanocomposites: Processing-structure-property relationships," *Composites Part B: Engineering*, vol. 150, pp. 78–92, Oct. 2018.
- [22] X. C. Tong, Electronic packaging materials and their functions in thermal managements. In *Advanced Materials for Thermal Management of Electronic Packaging*, pp. 131–167, Springer, New York, NY, 2011.
- [23] J. Ujma, K. Giles, M. Morris, and P. E. Barran, "New high resolution ion mobility mass spectrometer capable of measurements of collision cross sections from 150 to 520 K," *Anal. Chem.*, vol. 88, no. 19, pp. 9469–9478, 2016.
- [24] Y. Zrodnikov, M. Y. Rajapakse, D. J. Peirano, A. A. Aksenen, N. J. Kenyon, and C. E. Davis, "High asymmetric longitudinal field ion mobility spectrometry device for low power mobile chemical separation and detection," *Anal. Chem.*, vol. 91, no. 9, pp. 5523–5529, 2019.
- [25] C.-Y. Zhu, H.-B. Xu, X.-P. Zhao, L. Gong, and Z.-Y. Li, "A Review on Heat Transfer in Nanoporous Silica Aerogel Insulation Materials and Its Modeling," *Energy Storage and Saving*, Jul. 2022.
- [8] H. Borsdorf, T. Mayer, M. Zarejousheghani, and G. A. Eiceman, "Recent Developments in Ion Mobility Spectrometry," *Applied Spectroscopy Reviews*, vol. 46, no. 6, pp. 472–521, Aug. 2011.
- [9] G. A. Eiceman, Z. Karpas, and H. H. H. Jr, *Ion Mobility Spectrometry, Third Edition*. CRC Press, 2013. Accessed: Nov. 07, 2023.
- [10] V. Gabelica and E. Marklund, "Fundamentals of ion mobility spectrometry," *Current Opinion in Chemical Biology*, vol. 42, pp. 51–59, Feb. 2018.
- [11] R. Fernandez-Maestre, "Note: Buffer gas temperature inhomogeneities and design of drift-tube ion mobility spectrometers: Warnings for real-world applications by non-specialists," *The Review of Scientific Instruments*, vol. 88, no. 9, p. 096104, Sep. 2017.
- [12] B. C. Hauck, W. F. Siems, C. S. Harden, V. M. McHugh, and H. H. Hill Jr, "High accuracy ion mobility spectrometry for instrument calibration," *Anal. Chem.*, vol. 90, no. 7, pp. 4578–4584, 2018.
- [13] B. C. Hauck, C. S. Harden, and V. M. McHugh, "Current status and need for standards in ion mobility spectrometry," *Int. J. Ion Mobil. Spectrom.*, vol. 21, no. 4, pp. 105–123, 2018.
- [14] B. C. Hauck, C. S. Harden, and V. M. McHugh, "Accurate evaluation of potential calibration standards for ion mobility spectrometry," *Anal. Chem.*, vol. 92, no. 8, pp. 6158–6165, 2020.
- [15] J. N. Dodds and E. S. Baker, "Ion mobility spectrometry: Fundamental concepts, instrumentation, applications, and the road ahead," *J. Am. Soc. Mass Spectrom.*, vol. 30, no. 11, pp. 2185–2195, 2019.
- [16] V. Ilbeigi and M. Tabrizchi, "Peak-peak repulsion in ion mobility spectrometry," *Anal. Chem.*, vol. 84, no. 8, pp. 3669–3675, 2012.
- [17] M. Najarro, M. E. Dávila Morris, M. E. Staymates, R. Fletcher, and G. Gillen, "Optimized thermal desorption for improved sensitivity in trace explosives detection by ion mobility spectrometry," *The Analyst*, vol. 137, no. 11, p. 2614, 2012.
- [18] M. Alikord, A. Mohammadi, M. Kamankesh, and N. Shariatifar, "Food safety and quality assessment: comprehensive review and recent trends in the applications of ion mobility spectrometry (IMS)," *Crit. Rev. Food Sci. Nutr.*, vol. 62, no. 18, pp. 4833–4866, 2022.



## COPYRIGHTS

© 2024 by the authors. Licensee Iranian Space Research Center of Iran. This article is an open access article distributed under the terms and conditions of the Creative Commons Attribution 4.0 International (CC BY 4.0) (<https://creativecommons.org/licenses/by/4.0/>)